



DOI: 10.22124/jms.2019.3814

## بررسی اثر پیش تیمار نانو ذره دی اکسید سیلیس ( $\text{SiO}_2$ ) بر برخی شاخص‌های جوانهزنی بذر و خصوصیات بیوشیمیایی گیاهچه سویا (*Glycine max L.*) رقم ویلیامز تحت تنش شوری

وحید منصوری گندمانی<sup>۱\*</sup>، حشمت امیدی<sup>۲</sup>، عبدالامیر بستانی<sup>۳</sup>

تاریخ پذیرش: ۹۵/۵/۲۶

تاریخ دریافت: ۹۵/۲/۲۱

### چکیده

این پژوهش بهمنظور بررسی تأثیر نانو ذره دی اکسید سیلیس بر افزایش قدرت جوانهزنی سویا رقم ویلیامز تحت شرایط تنش شوری بهصورت فاکتوریل در قالب طرح آماری کاملاً تصادفی با سه تکرار در سال ۱۳۹۴ در آزمایشگاه علوم و تکنولوژی بذر دانشگاه شاهد تهران اجرا شد. عامل اول غلظت‌های مختلف نانو سیلیس شامل ۰ (شاهد)، ۴۰ و ۶۰ پیام و عامل دوم غلظت‌های مختلف شوری شامل شاهد (عدم تنش)، ۵، ۷/۵ و ۱۰ دسی‌زیمنس بر متر بود. در این آزمایش صفاتی همچون درصد جوانهزنی، سرعت جوانهزنی، متوسط جوانهزنی روزانه، یکنواختی جوانهزنی، تعداد گیاهچه عادی، وزن تر گیاهچه، محتوای نسبی آب ساقه‌چه، نسبت وزنی ریشه‌چه به ساقه‌چه، میزان کلروفیل کل برگ، میزان کلروفیل *a*، کلروفیل *b*، نسبت کلروفیل *a* به *b*، میزان کاروتینوئید، میزان پرولین و قند محلول کل اندازه‌گیری شد. نتایج حاکی از آن است که اثر متقابل پرایمینگ نانو سیلیس و شوری بر صفات جوانهزنی نظیر درصد و سرعت جوانهزنی، متوسط جوانهزنی روزانه، یکنواختی زمان جوانهزنی، تعداد گیاهچه عادی، نسبت وزنی ریشه‌چه به ساقه‌چه و صفات بیوشیمیایی مانند میزان کلروفیل کل برگ، میزان کلروفیل *a*، کلروفیل *b*، نسبت کلروفیل *a* به *b*، میزان کاروتینوئید، میزان پرولین و قند محلول کل در سطح احتمال ۱ درصد (P<0.01) معنی دار بود. بر اساس نتایج تیمار نانو سیلیس در غلظت ۶۰ پیام توانست با افزایش ۳۴ درصد در میزان جوانهزنی کاهش ناشی از تنش شوری را جبران نماید و درصد جوانهزنی در غلظت شوری ۱۰ دسی‌زیمنس بر متر را به حدود ۸۰ درصد برساند. بهعلاوه تیمار ۶۰ پیام نانو سیلیس توانست در مواجهه با تنش شوری بر دیگر پارامترهای جوانهزنی نظیر میزان پرولین و قندهای محلول تا حدودی از خسارات ناشی از تنش شوری بکاهد.

### واژه‌های کلیدی: پرایمینگ، تنش، سویا، نانو دی اکسید سیلیس

- دانشآموخته کارشناسی ارشد علوم و تکنولوژی بذر، دانشکده علوم کشاورزی، دانشگاه شاهد، تهران، ایران
- استادیار گروه زراعت و اصلاح نباتات، دانشکده علوم کشاورزی، دانشگاه شاهد، تهران، ایران
- استادیار گروه خاکشناسی، دانشکده علوم کشاورزی، دانشگاه شاهد، تهران، ایران

\*نویسنده مسئول: mansourivahid2@yahoo.com

## مقدمه

که نشان می‌دهد سیلیس برای رشد و نمو مطلوب گونه‌های گیاهی نظیر برنج، نیشور و بادام زمینی مفید است (Shi *et al.*, 2010). برخی تحقیقات نشان دهنده این است که با تیمار سیلیس رشد گیاه افزایش یافته و مقاومت بافتی گیاه در برابر تنفس شوری افزایش می‌یابد. در طی تنفس شوری و خشکی اثرات سیلیس با افزایش توانایی آنتی‌اکسیدانت‌ها و افزایش مولکول‌های آب‌دost ظاهر می‌شود (Cang *et al.*, 2002). در سال‌های اخیر استفاده از مواد نانو ترکیب، در رشتلهای مختلف از جمله کشاورزی مورد توجه پژوهشگران بسیاری بوده است (Pourkhalooee *et al.*, 2011; Haghghi *et al.*, 2012). از این ترکیبات به عنوان فرااوردهایی با ظرفیت بالا جهت پژوهش‌های مرتبط با بذر نام برده می‌شود هرچند مکانیسم دقیق آن‌ها به خوبی شناخته نشده است (Haghghi and Pesarakli, 2013).

بنابراین به دلیل این که جوانه‌زنی به عنوان اولین مرحله نموی در گیاهان و یکی از مراحل مهم و حساس در ظاهرشدن گیاهچه تحت شرایط تنفس شوری می‌باشد، و با توجه به گزارشات حاکی از کارآیی نانو ساختارها در جوانه‌زنی و اثر مثبت نانو سیلیس در تعديل خسارات شوری بر گیاهان و همچنین با توجه به میزان بالای سطح زیر کشت و متوسط عملکرد سویا رقم ویلیامز، هدف این پژوهش بررسی امکان بهره‌گیری از پرایمینگ نانو سیلیس بر جوانه‌زنی و شاخص‌های بیوشیمیایی سویا (رقم ویلیامز) تحت تنفس شوری است.

## مواد و روش‌ها

این آزمایش در سال ۱۳۹۴ در آزمایشگاه علوم و تکنولوژی بذر دانشکده علوم کشاورزی دانشگاه شاهد تهران به منظور بررسی اثر پیش‌تیمار نانو ذره‌ی دی‌اکسید سیلیس ( $\text{SiO}_2$ ) بر شاخص‌های جوانه‌زنی بذور سویا گواهی شده رقم ویلیامز تحت تنفس شوری اجرا گردید. بذرها مورد استفاده در سال ۱۳۹۴ توسط شرکت توسعه‌ی کشت دانه‌های روغنی تولید شده بود. آزمایش به صورت فاکتوریل در قالب طرح پایه کاملاً تصادفی با سه تکرار انجام شد. سطوح تیمار نانو سیلیس عدم پیش‌تیمار بذور با نانو سیلیس (شاهد)، پیش‌تیمار بذور با غلظت‌های ۴۰ و ۶۰ پی‌یام (Emamian *et al.*, 2014; Haghghi and Pesarakli, 2013) در نظر گرفته شد. نانو

ایران در منطقه‌ای خشک و نیمه‌خشک واقع شده است و تنفس شوری از تنفس‌های مهم در مناطق خشک و نیمه‌خشک به شمار می‌آید که اثرات محدود کننده شدیدی Koca *et al.*, 2007 بر رشد و قدرت تولید گیاهان می‌گذارد (Almansouri *et al.*, 2001; Murungu *et al.*, 2003; Mohammadi, 2013). خصوصیات بذر معمولاً فرآیندی تأثیرگذار و ضروری در استقرار گیاهچه و نمو گیاه و در نتیجه تعداد بالاتر گیاهچه و محصول بیشتر می‌باشد (Patade *et al.*, 2011; Sharif-Zadeh, 2012; Ansari *et al.*, 2012). جوانه‌زنی بذر و استقرار گیاهچه حساس‌ترین مرحله به تنفس شوری می‌باشد (Izadi *et al.*, 2012). تنفس‌های محیطی مانند تنفس شوری و خشکی می‌توانند موجب تأخیر در جوانه‌زنی و کاهش میزان آن شوند (Darbandi, 2012; Ansari and Patade *et al.*, 2011; Ansari and Sharif-Zadeh, 2012; Ansari *et al.*, 2012). در این میان، تنفس شوری عموماً باعث کاهش سرعت و درصد جوانه‌زنی و کاهش رشد گیاهچه و همچنین سبب تأخیر در جوانه‌زنی و کاهش میزان آن می‌شود (Ashraf and Foolad, 2005). شوری باعث تأخیر در شروع، کاهش در سرعت و افزایش غیر یکنواختی جوانه‌زنی بذر می‌شود که در نتیجه به کاهش رشد و عملکرد نهایی گیاه ختم می‌شود (Hasegawa *et al.*, 2000). غلظت‌های بالای نمک هنگام جوانه‌زنی موجب برهم خوردن ساختار پروتئین‌ها شده و کارکرد آنزیم‌ها را مختل می‌سازد. همچنین با کاهش پتانسیل آب که منجر به کاهش پتانسیل تورژسانس می‌شود، منجر به تجمع انواع اکسیژن فعال مانند سوپر اکسید، پراکسید هیدروژن، رادیکال‌های هیدروکسیل و اکسیژن آزاد در ساختار گیاهچه می‌گردد در مرحله جوانه‌زنی واکنش مناسبی نسبت به تنفس شوری نشان دهنده، در مرحله گیاهچه‌ای رشد بهتری داشته و Kaydan سیستم ریشه‌ای قوی‌تری را تولید می‌کند (and Yagmur, 2008).

در همین راستا، پرایمینگ بذر یکی از روش‌هایی است که می‌تواند برای مقابله با اثرات نامطلوب تنفس‌های غیر زنده مورد استفاده قرار گیرد (Mohammadi, 2013). نقش سیلیس در بهبود تحمل گیاه نسبت به تنفس‌های محیطی از جمله تنفس شوری در سال‌های اخیر مورد توجه بسیاری قرار گرفته است. شواهد رو به رشدی وجود دارد

$$\text{MGT} = \frac{\Sigma (\text{Ni})}{\Sigma N} \quad (3)$$

$\text{Ni}$  = مجموع بذرهای کاشته شده  
 $\text{Ti}$  = تعداد روزهای پس از جوانهزنی

$$\text{Mean Germination Time} = \text{MGT} \quad (4)$$

$\text{MGT}$  = متوسط زمان جوانهزنی (Time)

$$UG = \frac{\sum N}{\sum (di-d)ni} \times 100 \quad (4)$$

$\text{Ni}$  = مجموع بذرهای کاشته شده  
 $N$  = مجموع کل بذرهای جوانهزده در پایان آزمایش

$$RWC = \frac{FW - DW}{TW - DW} * 100 \quad (5)$$

$UG$  = یکنواختی جوانهزنی  
 $d$  = تعداد روز پس از کشت  
 $N$  = تعداد بذر جوانهزده

$$RWC = \frac{FW - DW}{TW - DW} * 100 \quad (5)$$

$(RWC)$  = محتوای نسبی آب اندام هوایی  
 $F_w$ : وزن برگ گیاهچه ۱۱ روزه بلا فاصله بعد از نمونه-برداری،  $D_w$ : وزن خشک برگ گیاهچه ۱۱ روزه بعد از قرار گرفتن در آون،  $T_w$ : وزن اشباع برگ بعد از قرار گرفتن در آب م قطر

یکی از بارزترین شاخص‌های آزمون جوانهزنی استاندارد، تعیین گیاهچه‌های عادی است. گیاهچه عادی سویا باید حداقل داری یک لپه بدون عیب، اپیکوتیل و Association of Official Rیشه‌چه قوی و سالم باشد (Seed Analysis, 1983). بهمنظور اندازه‌گیری صفات بیوشیمیابی، پس از مرحله جوانهزنی و گذشت ۱۱ روز از کشت، تمامی گیاهچه‌های عادی سویا به محیط کشت کنترل شده هوگلند انتقال داده شدند و اکسیژن مورد نیاز گیاهچه‌ها توسط پمپ هوا تأمین شد. پس از حدود ۲۱ روز از کشت و ایجادشدن برگ‌های حقیقی گیاهچه (مرحله چهار برگی) بهمنظور بررسی صفاتی نظیر مقدار کلروفیل a، کلروفیل b و کاروتونوئیدها به روش آرونون (Arnon, 1967) اندازه‌گیری صورت گرفت. میزان پرولین موجود در اندام گیاهچه سویا با استفاده از نین‌هیدرین به روش بیتس (Bates *et al.*, 1973) (اندازه‌گیری شد. اندازه‌گیری میزان کل قندهای محلول برگ نیز با اقتباس از روش اشلیگل (Sheligl, 1986) انجام شد.

تجزیه داده‌ها با استفاده از نرم‌افزار SAS صورت گرفت و مقایسه میانگین‌ها با استفاده از آزمون چند دامنه‌ای دانکن در سطح احتمال ۵ درصد انجام شد.

سیلیس مورد استفاده با اندازه مقیاس ذرهی ۲۰-۳۰ نانومتر از شرکت USA Research امریکا تهیه شد. عامل شوری نیز با ۴ سطح آب قطر (شاهد)، شوری ۵، ۷/۵ و ۱۰ دسی‌زیمنس بر متر با استفاده از نمک طبیعی دریاچه قم اعمال شد. آنالیز مواد موجود در نمک دریاچه قم شان داد که میزان غلظت سدیم ( $\text{Na}^+$ ) موجود ۱۲۸ گرم در لیتر و میزان کلر ( $\text{Cl}^-$ ) موجود ۲۱۸/۷ گرم در لیتر است که باعث ایجاد تنفس شوری در گیاه می‌شود. به‌منظور بررسی دقیق اثر تیمارها بذرهای سطوح شاهد در آب قطر خالص قرار گرفتند.

برای انجام آزمایش بذور سویا با هیبوکلریت سدیم ۱۰ درصد به‌مدت ۳ دقیقه ضدغوفنی شده و سپس با آب قطر شستشو داده شدند (Yosefi, 2014). مدت اعمال پرایمینگ با سطح مختلف مخلوط نانو سیلیس ۹ ساعت مدت بذرها به‌مدت ۶ ساعت با قرار گرفتن در دمای اتاق در آزمایشگاه خشک شدند. در هر پتری ۱۲ سانتی‌متری ۳۰ عدد بذر بر روی کاغذ واتمن قرار داده شد و به هر پتری ۱۵ میلی‌لیتر محلول شوری با سطوح متفاوت اضافه و برای جلوگیری از تبخیر آب درب پتری‌ها به‌وسیله پارافیلم بسته شد. جوانهزنی بذور در داخل ژرمیناتور کنترل شده با دمای ۲۵ درجه سلسیوس تحت شرایط تاریکی (Haji Abbasi *et al.*, 2014) انجام شد. شمارش بذرهای جوانهزده از روز دوم بهصورت روزانه در ساعتی معین صورت گرفت و خروج حدود ۲ میلی‌متر ریشه‌چه به‌عنوان معیار جوانهزنی بذور در نظر گرفته شد (Liopa-Tsakalidi *et al.*, 2012) و در نهایت بعد از ۱۱ روز درصد جوانهزنی (Liopa-Tsakalidi *et al.*, 2012) سرعت جوانهزنی (Pagter *et al.*, 2009)، متوسط زمان لازم برای جوانهزنی (Ellis and Roberts, 1981) و یکنواختی جوانهزنی بر طبق روابط ارائه شده محاسبه گردید.

#### پارامترهای جوانهزنی و روابط محاسبه:

$$GP = (\frac{N}{M} \times 100) / M \quad (1)$$

رابطه (۱)

$$GP = \text{درصد جوانهزنی} \quad (Germination Percentage)$$

$$N = \text{مجموع کل بذرهای جوانه زده در پایان آزمایش}$$

$$M = \text{کل بذرهای کاشته شده}$$

$$GS = \frac{\sum Ni}{\sum Ti} \quad (2)$$

رابطه (۲)

$$GR = \text{سرعت جوانهزنی} \quad (Germination rate)$$

## نتایج و بحث

## درصد جوانهزنی

نتایج به دست آمده از آزمایش نشان می‌دهد که اثر پیش‌تیمار نانو سیلیس، سطوح شوری و همچنین اثر متقابل تیمار نانو سیلیس و شوری بر درصد جوانهزنی در سطح احتمال یک درصد معنی‌دار بود (جدول ۱). افت محسوس میزان جوانهزنی با تشدید تنش شوری در بذرها سویا مشاهده گردید، به طوریکه بیشترین درصد جوانهزنی در بذرها بدون اعمال تنش با  $94/4$  (درصد) مشاهده گردید و کمترین میانگین در شوری  $10$  دسی‌زیمنس بر متر با  $46/6$  (درصد) به دست آمد. این در حالی است که تیمار نانو سیلیس در غلظت  $60$  پی‌پی‌ام توانست به ترتیب حدود  $21$  و  $34$  درصد کاهش جوانهزنی در شوری  $7/5$  و  $10$  دسی‌زیمنس را جبران کند (شکل ۱). نتایج همبستگی صفات نشان از همبستگی مثبت و معنی‌دار درصد جوانهزنی بذر سویا با سرعت جوانهزنی، تعداد گیاهچه عادی، محتوای نسبی آب اندام هوایی، وزن تر گیاهچه و میزان کلروفیل برگ داشت. همچنین درصد جوانهزنی با صفت متوسط زمان جوانهزنی (تعداد روز مورد نیاز جهت جوانهزنی) همبستگی منفی و معنی‌داری نشان داد (جدول ۳). نتایج Chang و همکاران (2002) در بررسی اثر سیلیس بر جوانهزنی و رشد گیاهچه‌های ذرت نشان داد که سیلیس منجر به افزایش سرعت تنفس در گیاهچه‌ها می‌شود و از طریق بالابردن فعالیت آنزیم‌های مانند پروتئاز و لیپاز در طول جوانهزنی بذرها ذرت، جوانهزنی را افزایش می‌دهد. در همین زمینه پژوهش‌های دیگر نشان می‌دهند که سیلیس تنش‌های زنده و غیر زنده را در گیاهان کاهش داده، و می‌تواند موجب بهبود مقاومت Liang et al., 2007; (Ye et al., 2012; Vaculík et al., 2012

## سرعت جوانهزنی و متوسط مدت زمان جوانهزنی

بر اساس نتایج تجزیه واریانس داده‌ها، اثر تیمار نانو سیلیس، تنش شوری و اثر متقابل تیمار نانو سیلیس و شوری بر سرعت جوانهزنی و متوسط مدت زمان جوانهزنی در سطح احتمال یک درصد ( $P < 0.01$ ) معنی‌دار بوده است. طبق نتایج مقایسات میانگین با افزایش غلظت شوری تا سطح  $7/5$  دسی‌زیمنس بر متر کاهش سرعت و افزایش متوسط زمان جوانهزنی مشاهده گردید، اما در بالاترین غلظت شوری ( $10$  دسی‌زیمنس بر متر) به ظاهر

باعث افزایش سرعت و کاهش متوسط زمان جوانهزنی شد، با توجه به میزان درصد جوانهزنی در این سطح شوری به نظر می‌رسد تنها  $46$  درصد بذور سویا در روزهای ابتدایی جوانه زده‌اند و شوری بالا باعث ممانعت از جوانهزنی بذرهاست شده است که نتوانسته‌اند در اولین زمان ممکن جوانه بزنند. به طورکلی بیشترین سرعت جوانهزنی در تمامی سطوح شوری با حضور تیمار  $60$  پی‌پی‌ام نانو سیلیس مشاهده گردید و پیش‌تیمار نانو سیلیس توانست با تأثیر کاملاً محسوس، حدود  $20$  درصد افزایش در سرعت جوانهزنی بذور سویا تحت تنش شوری  $7/5$  دسی‌زیمنس بر متر ایجاد کند (شکل ۲).

طبق مقایسات میانگین بیشترین متوسط زمان زمان لازم برای جوانهزنی با حدود  $3$  روز و  $12$  ساعت در شوری  $7/5$  دسی‌زیمنس بر متر ثبت شده است و کمترین متوسط زمان جوانهزنی مربوط به پیش‌تیمار  $60$  پی‌پی‌ام نانو سیلیس بدون حضور شوری بود (شکل ۲). لی و همکاران (Lee et al., 2010) مشاهده کردند که سرعت جوانهزنی و فعالیت‌های جوانهزنی گیاه آرابیدوپسیس با استفاده از آمیخته‌ای از نانو اکسید سیلیس افزایش قابل توجهی داشت. به علاوه پرایمینگ بذرها کلزا با سیلیس سرعت جوانهزنی و پارامترهای رشدی گیاه را افزایش داد و موجب جلوگیری از تجمع سدیم در اندام هوایی گردید (Hashemi et al., 2010).

## یکنواختی زمان جوانهزنی

اثر تیمار نانو سیلیس، شوری و اثر متقابل آن‌ها (نانو سیلیس×شوری) بر صفت یکنواختی زمان جوانهزنی در سطح احتمال یک درصد معنی‌دار بود (جدول ۱). با توجه به شکل ۳ با افزایش غلظت نمک و تشدید تنش افت یکنواختی در زمان جوانهزنی هستیم به طوری که تیمار نانو سیلیس با غلظت  $40$  پی‌پی‌ام در سطوح بالای شوری توانست کاهش یکنواختی زمان جوانهزنی را جبران نماید. فاروق و همکاران (Farooq et al., 2006) علت سبزشدن یکنواخت و یکنواختی زمان جوانهزنی بذور پیش‌تیمار شده برنج را بهبود فعالیت آلفا‌امیلаз و افزایش قندهای محلول دانستند. سیلیس با افزایش فعالیت آنزیم‌های آنتی‌اسیدانی نظیر کاتالاز، سوپراکسید دیسموتاز و آلفا‌امیلаз باعث استحکام در غشاء پلاسمایی و ایجاد مقاومت در برابر تنش شوری می‌گردد (Al-Aghabary et al., 2004).

## جدول ۱- تجزیه واریانس تأثیر نانو سیلیس و شوری بر شاخص‌های جوانه‌زنی بذور سویا

Table 1. Variance analysis for effect of Nano-SiO<sub>2</sub> and salinity on soybean seeds germination indices

منابع تغییرات Sources of variance	df	میانگین مربعات Mean square								
		ناموی سیلیس (N) Salinity (S)	درجه آزادی GS	سرعت جوانه‌زنی درصد جوانه‌زنی MGT	متوجه زمان جوانه‌زنی UG	یکنواختی جوانه‌زنی Normal Seedlings	تعداد گیاهچه عادی به ساقه‌چه Root to Shoot Length Ratio	نسبت طولی ریشه‌چه هوایی RWC	وزن تر گیاهچه TW	
ناموی سیلیس (N)	2	985.56**	289.16**	1.33**	0.55**	68.08**	0.0047**	446.57**	399848.93**	
شوری (S)	3	979.89**	30.70**	0.13**	0.08**	92.55**	0.0008**	192.62**	239206.43**	
N×S	6	288.80**	11.04**	0.064**	0.36**	34.08**	0.001**	45.04*	13104.1 ns	
خطا	22	7.63	0.31	0.001	0.002	0.87	0.0001	17.69	23596.3	
ضریب تغییرات (%) CV	-	3.26	1.41	1.47	5.58	3.80	7.20	5.83	13.83	

\* و \*\* به ترتیب غیر معنی‌دار، معنی‌دار در سطح احتمال ۵ و ۱ درصد

ns, \* and \*\* non-significant, Significant at 5% and 1% respectively

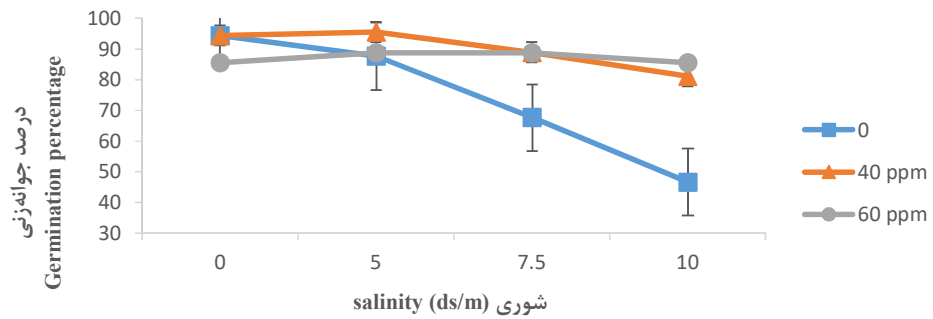
## جدول ۲- خلاصه تجزیه واریانس تأثیر نانو سیلیس و شوری بر شاخص‌های بیوشیمیایی گیاهچه سویا

Table 2. Summary of variance analysis for effect of Nano-SiO<sub>2</sub> and salinity on soybean seedlings biochemical indices

منابع تغییرات Sources of variance	درجه آزادی df	میانگین مربعات Main square								
		ناموی سیلیس (N) Salinity (S)	ناموی شوری (S) N×S	خطا Error	میزان کلروفیل برگ Chlorophyll	میزان کلروفیل a Chlorophyll a	میزان کلروفیل b Chlorophyll b	نسبت کلروفیل a به b Ratio of chlorophyll a to b	میزان کاروتونید Carotenoids	میزان کل قندهای محلول Total soluble sugars
ناموی سیلیس (N)	2	71.74**	17.78**	0.40	45.86**	12.87**	27013.72*	*	173.45**	0.30**
شوری (S)	3	356.65**	139.09**	3.34	51.23**	1.56**	2391.47**	73.30**	0.11**	
N×S	6	38.14**	31.91**	3.99	1.43**	0.42*	638.76**	1.17 **	0.004**	
خطا	22	0.40	0.26	7.60	0.21	0.12	23.58	0.1	0.0002	
ضریب تغییرات (%) CV(%)	-	3.34	3.99	7.60	14.5	4.27	2.38	2.52		

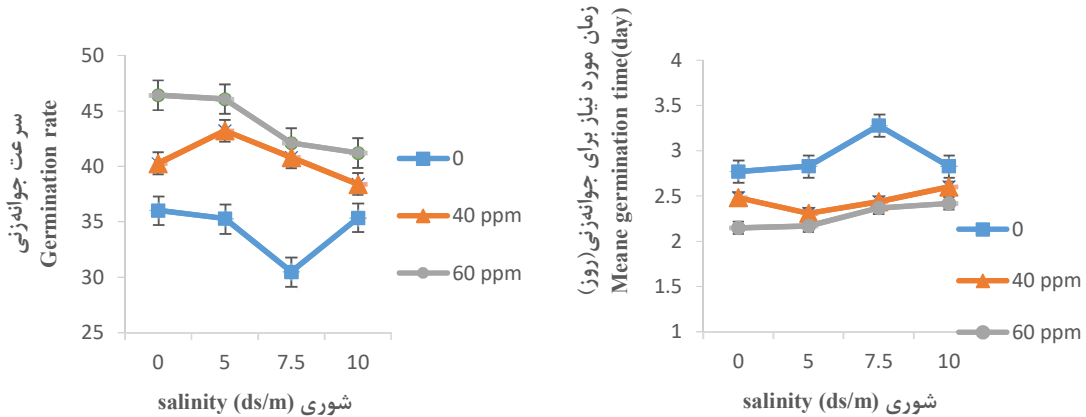
\* و \*\* به ترتیب غیر معنی‌دار، معنی‌دار در سطح احتمال ۵ و ۱ درصد

ns, \* and \*\* non-significant, Significant at 5% and 1% respectively



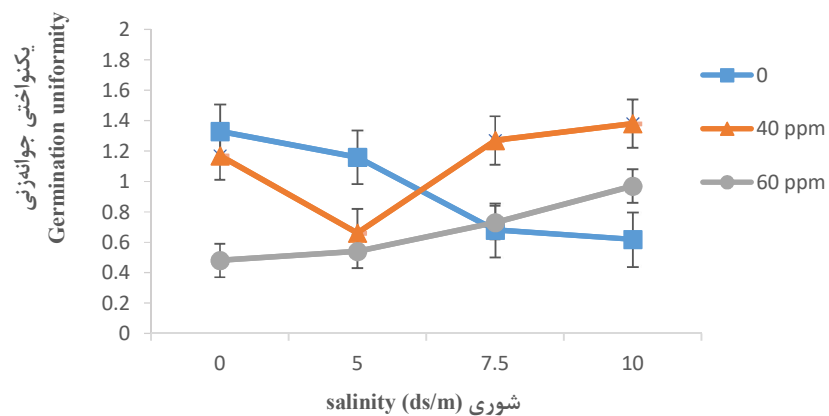
شکل ۱- مقایسه میانگین درصد جوانه‌زنی بذر سویا تحت تأثیر پیش تیمار نانو سیلیس و تنش شوری

Figure 1. Mean comparison of Soybean seeds germination percentage affected by Nano Sio<sub>2</sub> pretreatment and salinity stress



شکل ۲- مقایسه میانگین سرعت جوانه‌زنی و متوسط زمان جوانه‌زنی بذور سویا تحت تأثیر پیش تیمار نانو سیلیس و تنش شوری

Figure 2. Mean comparison of Soybean seeds germination rate and mean germination time affected by Nano Sio<sub>2</sub> pretreatment and salinity stress



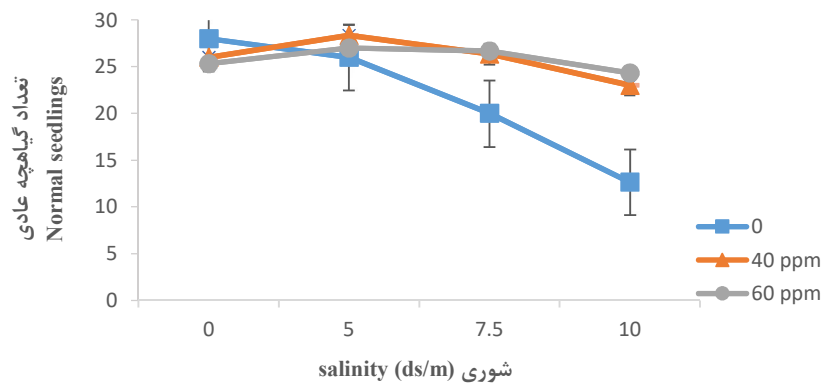
شکل ۳- مقایسه میانگین یکنواختی جوانه‌زنی بذور سویا تحت تأثیر پیش تیمار نانو سیلیس و تنش شوری

Figure 3. Mean comparison of Soybean seeds germination uniformity affected by Nano Sio<sub>2</sub> pretreatment and salinity stress

علت آن عدم ثبات غشاء سلولی و خسارت به سلول‌های Nellist جنینی بذر در شرایط تنفس‌های مختلف است (Nellist and Hughes 1973) به نظر می‌رسد تکنیک پرایمینگ RNA اجازه رونویسی زودهنگام، رونویسی DNA، افزایش RNA و پروتئین‌سنتریز را به بذور می‌دهد و رشد جنین را افزایش، بخش‌های آسیب دیده بذر را ترمیم و ترشحات متabolیت‌ها را کاهش می‌دهد. این عوامل می‌توانند میزان و یکنواختی جوانه‌زنی بذر و ظهور گیاهچه‌های عادی را بهبود بخشد (Omidi *et al.*, 2005). نتایج همبستگی صفات نشان از همبستگی مثبت و معنی‌دار بین صفت تعداد گیاهچه عادی با درصد و سرعت جوانه‌زنی، محتوای نسبی آب اندام هوایی، وزن تر گیاهچه و میزان کلروفیل برگ داشت (جدول ۳).

### تعداد گیاهچه عادی

نتایج به دست آمده از تجزیه واریانس نشان داد (جدول ۱) که اثر پیش‌تیمار نانو سیلیس، تنفس شوری و اثر متقابل نانو سیلیس و شوری بر صفت تعداد گیاهچه عادی در سطح احتمال یک درصد معنی‌دار بود. به طوری که بیشترین تعداد گیاهچه عادی با میانگین  $28/33$  در تقابل سطح  $40$  پی‌پی‌ام نانو سیلیس و شوری  $5$  دسی‌زیمنس بر متر مشاهده شد و کمترین آن در شوری سطح  $10$  دسی‌زیمنس بر متر و عدم حضور نانو سیلیس ثبت شد (شکل ۴). پیش‌تیمار نانو سیلیس در هر دو سطح  $40$  و  $60$  پی‌پی‌ام تأثیر مثبتی بر تعداد گیاهچه‌های عادی در تقابل با شوری داشت (شکل ۴). افزایش تعداد گیاهچه‌های غیر عادی از جمله مهم‌ترین علایم خسارت بذر می‌باشد که



شکل ۴- مقایسه میانگین تعداد گیاهچه عادی سویا تحت تأثیر پیش‌تیمار نانو سیلیس و تنفس شوری

Figure 4. Mean comparison of Soybean normal seedlings affected by Nano Sio<sub>2</sub> pretreatment and salinity stress

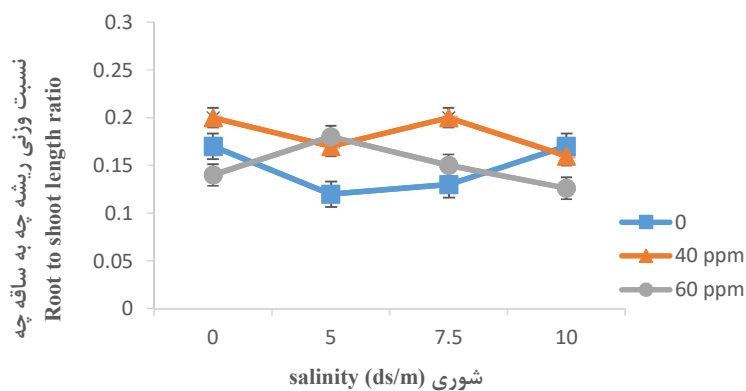
شوری بر طول ریشه‌چه یازده رقم پنجه نشان دادند که این صفت تأثیرپذیری بیشتری نسبت به طول ساقه‌چه داشت و اذعان داشتند که طول ریشه‌چه حساس‌ترین قسمت گیاه نسبت به تنفس شوری است. نتایج تحقیقات Mansour (1994) نیز نشان داد که تنفس شوری باعث کاهش نسبت وزنی ریشه به ساقه شده است.

#### محتوای نسبی آب اندام هوایی

نتایج بدست آمده از تجزیه واریانس داده‌ها نشان داد که تیمار نانو سیلیس و شوری اثر معنی‌داری در سطح احتمال یک درصد و اثر متقابل تیمار نانو سیلیس و شوری با سطح احتمال  $5$  درصد بر محتوای نسبی آب اندام هوایی داشتند (جدول ۱).

#### نسبت طولی ریشه‌چه به ساقه‌چه

طبق نتایج تجزیه واریانس تیمارهای نانو سیلیس، شوری و اثر متقابل آن‌ها (نانو سیلیس×شوری) اثر معنی‌داری بر نسبت طولی ریشه‌چه به ساقه‌چه در سطح احتمال یک درصد داشتند (جدول ۱). بیشترین نسبت طول ریشه‌چه به ساقه‌چه در تقابل سطوح  $40$  پی‌پی‌ام نانو سیلیس و عدم شوری بوده و کمترین نسبت در سطح شوری  $5$  دسی‌زیمنس بر متر و عدم حضور نانو سیلیس مشاهده گردید. طبق شکل  $5$  تیمار  $5$  پی‌پی‌ام نانو سیلیس در سطح  $7/5$  دسی‌زیمنس و تیمار  $60$  پی‌پی‌ام در سطح شوری  $5$  دسی‌زیمنس بر متر توانسته نسبت طولی ریشه‌چه به ساقه‌چه را افزایش دهد (شکل ۵). نور و همکاران (Noor *et al.*, 2001) در بررسی اثر تنفس



شکل ۵- مقایسه میانگین نسبت طولی ریشه‌چه سویا تحت پیش تیمار نانو سیلیس و تنش شوری

Figure 5. Mean comparison of Soybean seedlings root to shoot length ratio affected by Nano SiO<sub>2</sub> pretreatment and salinity stress

همچنین تیمار شوری در سطح ۱۰ دسی‌زیمنس بر متر باعث کاهش ۲۶ درصدی وزن تر گیاهچه سویا شده است (شکل ۷). Pesarakli و Haghghi (2013) نشان دادند که اثر تیمار نانو سیلیس بر بذور گوجه فرنگی باعث افزایش وزن تر و خشک گیاهچه و در کل باعث بهبود صفات رویشی گیاه شده است. همبستگی بین صفت وزن تر گیاهچه با درصد و سرعت جوانه‌زنی، یکنواختی جوانه‌زنی، محتوای نسبی آب اندام هوایی و میزان کلروفیل برگ مشتب و معنی دار بود (جدول ۲).

#### میزان کلروفیل برگ

براساس نتایج تجزیه واریانس داده‌ها، اثر پیش تیمار نانو سیلیس، تنش شوری و اثر متقابل تیمار نانو سیلیس و شوری بر میزان کلروفیل برگ معنی دار ( $P < 0.01$ ) بود. استنباط می‌شود پیش تیمار نانو سیلیس در مقابله با شوری توانسته با اثر بر میزان کلروفیل برگ از کاهش ناگهانی آن و خسارت به برگ جلوگیری کند (شکل ۸). کاربرد سیلیس در محیط رشد گیاه باعث کاهش نفوذپذیری غشاء پلاسمایی سلول‌های برگ شده و ساختار کلروپلاست‌ها را که آسیب زیادی نظیر ناپدیدشدن غشاء دو لایه و فرو ریختن گرانا را در اثر سمیت کلرید سدیم دیده‌اند، را بهبود می‌بخشد. یعنی سیلیس هم در ساختار و هم در کارکرد غشاء پلاسمایی مؤثر است (Zhu et al., 2004).

#### میزان کلروفیل a, b و کاروتینوئید در برگ

نتایج به دست آمده از تجزیه واریانس نشان داد (جدول ۲) که اثر پیش تیمار نانو سیلیس، تنش شوری و اثر

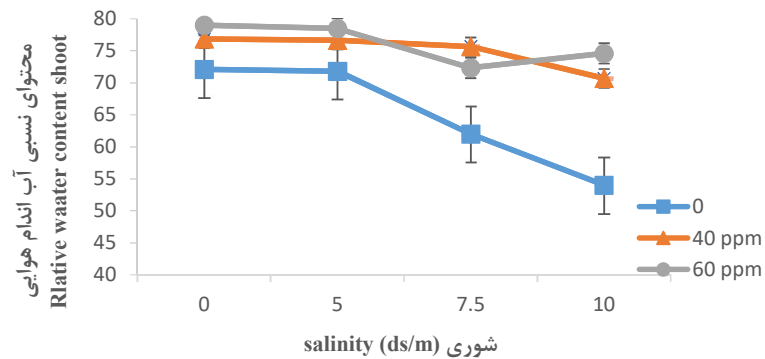
طبق نتایج مقایسات میانگین بیشترین میزان محتوای نسبی آب اندام هوایی با ۷۸ درصد در تیمار ۶۰ پی‌پی‌ام نانو سیلیس بدون اعمال شوری مشاهده شد و کمترین میزان، در شوری ۱۰ دسی‌زیمنس بر متر و عدم حضور تیمار نانو سیلیس با ۶۲ درصد ثبت گردید (شکل ۶). همان‌گونه که در شکل ملاحظه می‌شود هر دو سطح نانو سیلیس نه تنها در شرایط بدون تنش باعث افزایش میزان محتوای نسبی آب اندام هوایی شده‌اند، بلکه در مواجهه با تنش نیز کاهش را جبران کرده و باعث بهبود محتوای آب نسبی اندام هوایی در گیاهچه سویا شده است (شکل ۶). کاهش محتوای رطوبت نسبی در نتیجه کاهش دسترسی به آب در اثر افزایش پتانسیل اسمزی ناشی از وجود نمک است. کاربرد سیلیس باعث بهبود وضعیت آب گیاه Aroie می‌شود و رطوبت نسبی برگ را افزایش می‌دهد (Aroie et al., 2012). سیلیس در دیواره‌های سلول‌ها رسوب کرده و با ماکروملکول‌های آلی (شامل سلولز، پکتین) ترکیب شده و ترکیبات کلئوپیدی بی‌شک با سطح جذب بالا تشکیل می‌شود و در نتیجه اثرات سوء تنش را کاهش می‌دهد.

#### وزن تر گیاهچه

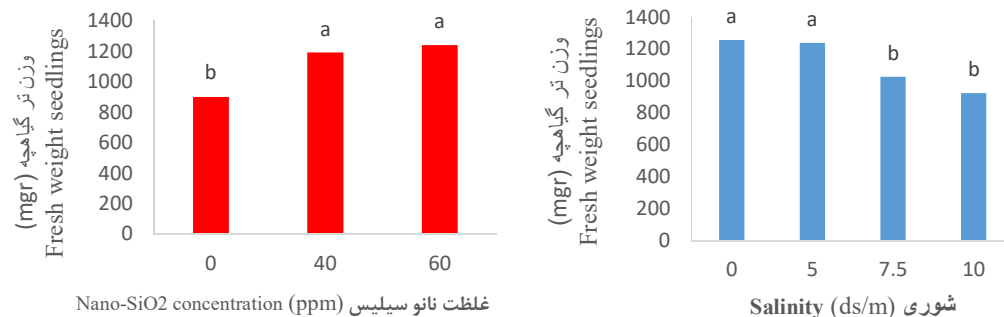
بر اساس نتایج تجزیه واریانس پیش تیمار نانو سیلیس و سطوح شوری در سطح احتمال یک درصد بر وزن تر گیاهچه سویا اثر معنی‌داری داشتند (جدول ۱). با توجه به شکل تیمارهای ۶۰ و ۴۰ پی‌پی‌ام نانو سیلیس به ترتیب با ۲۷ و ۲۳ درصد افزایش در وزن تر توانسته‌اند اثر مشبت قابل توجهی بر فرآیند رویشی گیاهچه‌های سویا بگذارند.

طبق مقایسات میانگین با افزایش شوری میزان کلروفیل a در برگ سویا بهشدت کم شده است اما تیمار ۶۰ پیپام نانو سیلیس در شوری ۷/۵ و ۱۰ دسی زیمنس بر مترا بهتر تیب باعث افزایش ۲۷ و ۳۰ درصد در میزان کلروفیل a موجود در برگ سویا شد (شکل ۹).

متقابل نانو سیلیس و شوری بر میزان کلروفیل a، کلروفیل b و کاروتینوئید برگ گیاهچه سویا در سطح احتمال یک درصد معنی دار بود. همچنین اثر تیمار نانو سیلیس و تنفس شوری بر نسبت کلروفیل a به b نیز در سطح احتمال یک درصد معنی دار شد. در حالی که اثر متقابل نانو سیلیس و شوری با احتمال ۵ درصد معنی دار گردید (جدول ۲).



شکل ۶- مقایسه میانگین محتوای نسبی آب اندام هوایی گیاهچه سویا تحت پیش تیمار نانو سیلیس و تنفس شوری  
Figure 6. Mean comparison of Soybean seedlings relative water content shoot affected by Nano Sio<sub>2</sub> pretreatment and salinity stress



شکل ۷- مقایسه میانگین وزن تر گیاهچه سویا تحت تأثیر پیش تیمار نانو سیلیس و تنفس شوری  
Figure 7. Mean comparison of Soybean seedlings fresh weight affected by Nano Sio<sub>2</sub> pretreatment and salinity stress

پیش تیمار نانو سیلیس تأثیر بیشتری بر میزان کلروفیل b نسبت به کلروفیل a داشته است. نتایج تحقیقات اشرف (Ashraf and Naqvi, 1992) نشان می دهد که تنفس شوری موجب تخریب کلروپلاست، تغییر تعداد و اندازه هی کلروپلاستها و کاهش نامحسوس کلروفیل می شود. بر اساس گزارش اسکوتز (Schutz and Fangmier, 2001) کاهش میزان کلروفیل در اثر تنفس مربوط به تولید رادیکال های آزاد اکسیژن در سلول است، که باعث پراکسیداسیون و تجزیه کلروفیل می شود.

شوری باعث کاهش میزان کلروفیل b نیز شد. اما پیش تیمار نانو سیلیس در هر دو سطح ۴۰ و ۶۰ پیپام نه تنها موجب جریان این میزان شده است بلکه منجر به افزایش در میزان کلروفیل b در شرایط بدون تنفس نیز شده است. به طوری که بیشترین میزان کلروفیل b با میانگین ۱۰/۲۱ میلی گرم در گرم وزن تر برگ در تیمار ۶۰ پیپام نانو سیلیس و بدون حضور شوری به دست آمده است و کمترین میزان در شوری ۱۰ دسی زیمنس و عدم حضور تیمار نانو سیلیس با میانگین ۱/۴۲ میلی گرم در گرم وزن تر برگ سویا ثبت شد (شکل ۹). به طور کلی

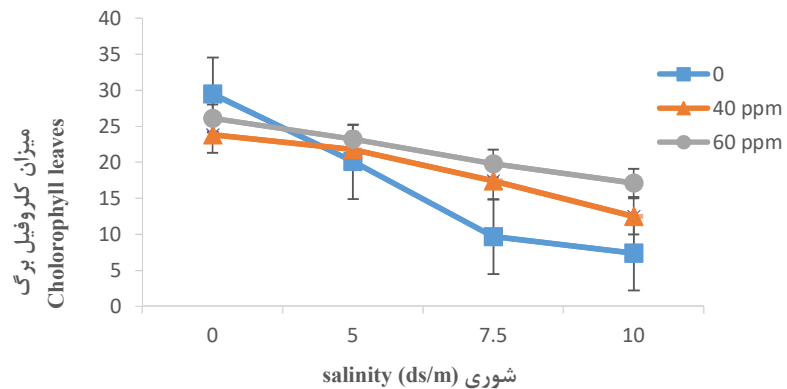
**جدول ۳- بررسی همبستگی بین شاخص‌های جوانهزنی و بیوشیمیایی بذر سویا تحت پیش تیمار نانو سیلیس و تنش شوری**

**Table 3. Correlation assessment among Soybean seeds germination and biochemical indices under pretreatment Nano-SiO<sub>2</sub> and stress salinity**

	1	2	3	4	5	6	7	8	9	10	11	12	13	14	15
۱. درصد جوانهزنی	1														
۲. سرعت جوانهزنی	0.56**	1													
۳. متوسط زمان جوانهزنی	-0.57**	-0.99**	1												
۴. یکنواختی جوانهزنی	23 ns	-0.32*	0.22 ns	1											
۵. تعداد گیاهچه عادی	0.97**	0.48**	-0.49**	0.23 ns	1										
۶. نسبت طولی ریشه‌چه به ساقه‌چه	0.19 ns	0.27 ns	-0.31 ns	0.17 ns	0.16 ns	1									
۷. محتوای نسبی آب اندام هوایی	0.84**	0.67**	-0.67**	0.11 ns	0.79**	0.17 ns	1								
۸. وزن تر گیاهچه	0.76**	0.69**	-0.68**	-0.88*	0.70**	0.25 ns	0.95**	1							
۹. میزان کلروفیل کل برگ	0.83**	0.53**	0.68**	0.65 ns	0.79**	0.22 ns	0.68**	0.68**	1						
a. میزان کلروفیل a	0.73**	0.3 ns	-0.3 ns	0.18 ns	0.71**	0.09 ns	0.54**	0.52**	0.94**	1					
b. میزان کلروفیل b	0.8**	0.79**	-0.77**	-0.10 ns	0.73**	0.39*	0.75**	0.77**	0.86**	0.66**	1				
b. نسبت کلروفیل a به b	-0.7**	-0.77**	0.78**	-0.06 ns	-0.63**	-0.41*	-0.67**	-0.65**	-0.5**	-0.23 ns	-0.81**	1			
۱۳. میزان کاروتینوئید	0.66**	0.86**	-0.8**	-0.18 ns	0.59**	0.38*	0.74**	0.75**	0.51**	0.26 ns	0.76**	-0.78**	1		
۱۴. میزان پرولین	0.01 ns	0.5**	-0.5**	-0.14 ns	-0.008 ns	-0.05 ns	0.19 ns	0.16 ns	-0.30 ns	-0.44**	-0.02 ns	-0.37*	0.49**	1	
۱۵. میزان کل قندهای محلول	0.07 ns	0.52**	-0.57**	-0.06 ns	0.06 ns	0.03 ns	0.22 ns	0.17 ns	-0.21 ns	-0.31 ns	0.006 ns	-0.36*	0.50**	0.97**	1

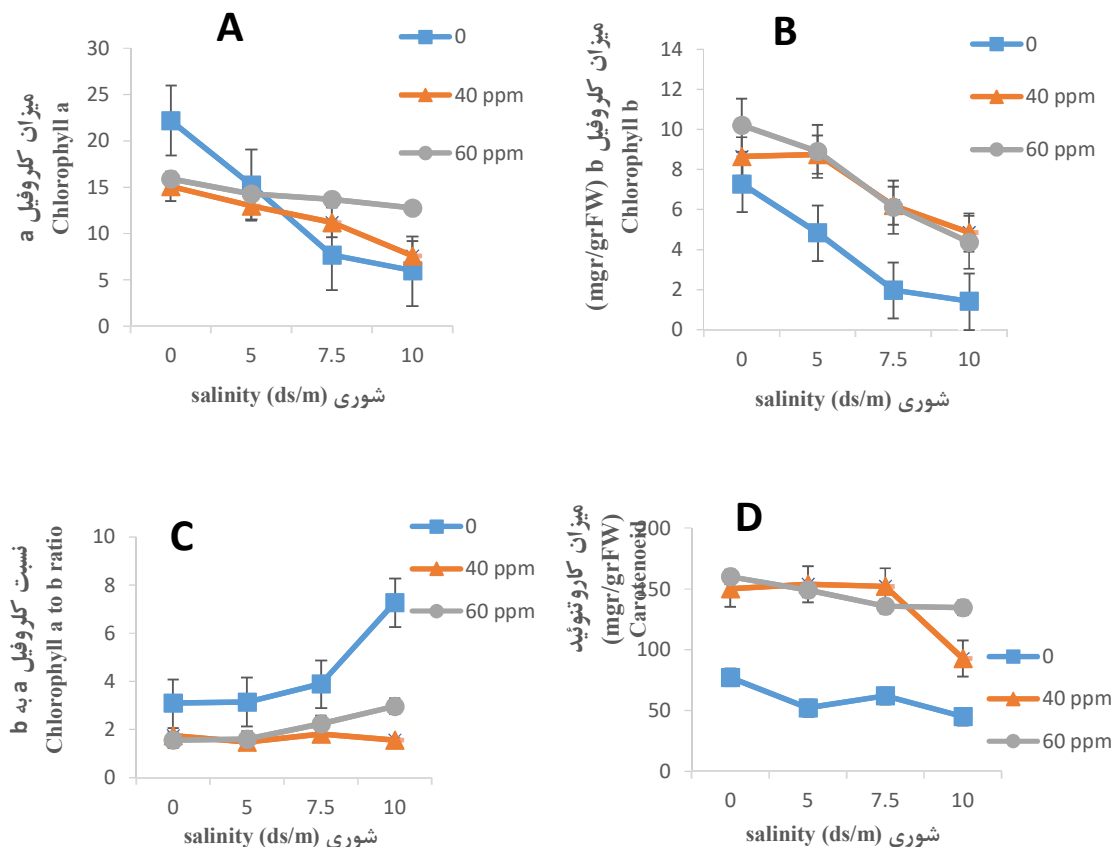
\* و \*\* به ترتیب غیر معنی‌دار، معنی‌دار در سطح احتمال ۵ و ۱ درصد

ns, \* and \*\* non-significant, Significant at 5% and 1% respectively



شکل ۸- مقایسه میانگین میزان کلروفیل برگ گیاهچه سویا تحت تأثیر پیش تیمار نانو سیلیس و تنش شوری

Figure 8. Mean comparison of Soybean seedlings root to shoot weight ratio affected by Nano Sio2 pretreatment and salinity stress



شکل ۹- مقایسه میانگین میزان کلروفیل a (A)، میزان کلروفیل b (B)، نسبت کلروفیل a به b (C) و میزان کاروتینوئید برگ سویا (D) تحت تأثیر پیش تیمار نانو سیلیس و تنش شوری

Figure 9. Mean comparison of chlorophyll a (A), chlorophyll b (B), the ratio of chlorophyll a to b (C) and carotenoids in the leaves of soybean (D) affected by Nano Sio2 pretreatment and salinity stress

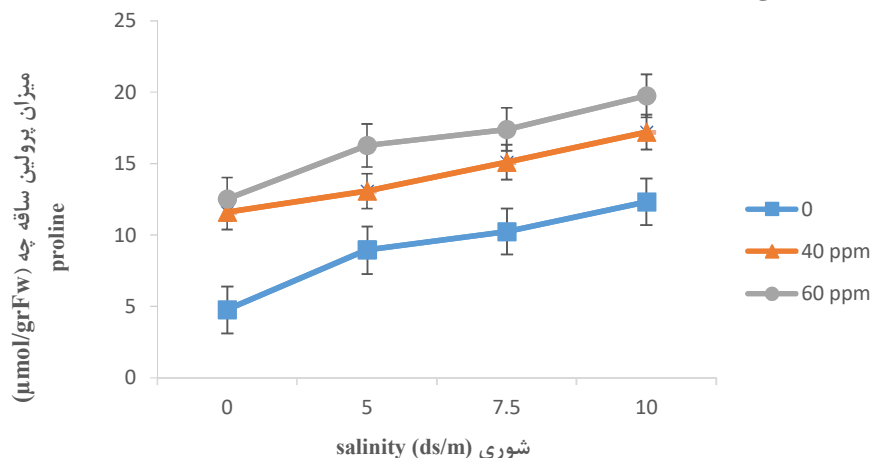
(Parida and Karanth, 2005) نیز بیان کردند که محتوای کلروفیل و کاروتینوئیدهای گیاهان، تحت تنش شوری کاهش می‌یابند.

نتایج مشابهی وانگ و همکاران در سویا (Wang et al., 2005) گزارش کرده‌اند. پریدیا و داس (Das, 2005)

باعث کاهش اثرات سمی رادیکال‌های آزاد می‌شوند (Sanitata and Gabriella, 1999). گزارش‌های متعددی حکایت از کاهش محتوای کلروفیل‌ها و کاروتینوئیدها تحت تنفس شوری دارد که از جمله می‌توان به گزارش‌هایی روی سویا (Sheteawi, 2007) و باقلا (Sanitata and Gabriella, 1999) اشاره کرد. در همین زمینه پژوهش‌های دیگر نشان می‌دهد که سیلیس زنش‌های زنده و غیر زنده را در گیاهان کاهش داده، و می‌تواند موجب بهبود مقاومت یا تحمل بسیاری از گیاهان عالی شود (Guo *et al.*, 2005; Ye *et al.*, 2012; Vaculik *et al.*, 2012).

حقیقی و همکاران نشان دادند که تیمار نانو سیلیس توانسته محتوای کلروفیل گوجه را در تنفس شوری به بالاترین حد رسانده و نسبت به شاهد نیز غلظت کلروفیل Haghghi and Pessarakli, (2013).

تیمار نانو سیلیس با تأثیر کاملاً محسوس بر میزان کاروتینوئید موجود در برگ سویا تحت تنفس شوری باعث افزایش کلی در میزان کاروتینوئید شد و کاهش ناشی از تنفس را نه تنها خنثی بلکه بهبود بخشدید (شکل ۴). کاروتینوئیدها نقش حفاظتی در مقابل تنفس اکسیداتیو القاء شده داشته و در سمیت‌زدایی از کلروفیل نیز نقش دارند و



شکل ۱۰- مقایسه میانگین میزان پرولین ساقه‌چه گیاهچه سویا تحت پیش تیمار نانو سیلیس و تنفس شوری

Figure 10. Mean comparison of Soybean seedlings shoot proline affected by Nano Sio<sub>2</sub> pretreatment and salinity stress

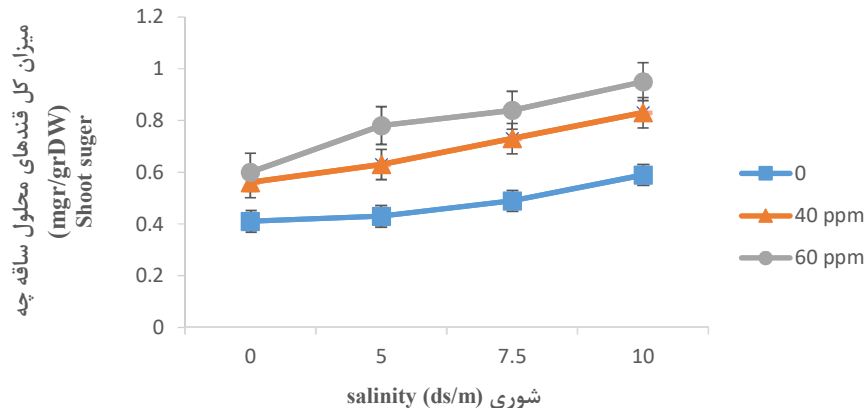
از بین دو سطح تیمار نانو سیلیس، غلظت ۶۰ پی‌پی‌ام با افزایش حدود ۳۷ درصدی در میزان پرولین تأثیر بهتری بر گیاهچه سویا تحت شرایط تنفس داشت (شکل ۱۰). در تنفس‌ها رادیکال‌های آزاد افزایش می‌یابند و باعث بروز تنفس اکسیداتیو و آسیب‌زدن به ساختار غشاء سلولی می‌شود. سلول‌های گیاهی با افزایش آنزیم‌های سرکوب-کننده رادیکال‌های آزاد و افزایش قندها و پروتئین‌های محلول در آب، درصد جبران و مقابله با تنفس و آسیب‌های وارد می‌شوند. یکی از پروتئین‌های محلول در آب که در تعديل تنفس‌های وارد نفخ اساسی دارد پرولین است. پرولین یک مولکول به شدت آبدوست است و در سیتوپلاسم سلولی باعث حفظ محتوای آبی در تنفس‌ها می‌شود (Mahdavi *et al.*, 2014).

**محتوای پرولین موجود در ساقه‌چه**  
طبق نتایج تجزیه واریانس تیمار نانو سیلیس، شوری و اثر متقابل آن‌ها (نانو سیلیس×شوری) اثر معنی‌داری بر میزان پرولین موجود در ساقه‌چه سویا در سطح احتمال یک درصد داشتند (جدول ۲). همان‌گونه که در شکل ۱۰ نشان داده شده است گیاه برای مقابله با تنفس، با افزایش غلظت شوری پرولین بیش‌تری تولید کرده است. اما حضور تیمار نانو سیلیس باعث کمک به افزایش میزان پرولین شد به طوری که بیش‌ترین میزان پرولین در سطح شوری ۱۰ دسی زیمنس بر متر با حضور تیمار ۶۰ پی‌پی‌ام نانو سیلیس با میانگین ۱۹/۷۴ میکرومول بر گرم وزن تر اندام هوازی ثبت شد. کمترین میزان با میانگین ۴/۷۷ در گیاهچه‌های شاهد و عدم هر دو تیمار مشاهده گردید. اما

زیمنس بر متر با ۹۵٪ میلی‌گرم بر گرم وزن خشک ساقه‌چه بیشترین میزان قند محلول را به‌خود اختصاص داد، و کمترین میزان قند محلول با میانگین ۴۱٪ گرم بر گرم خشک ساقه‌چه در گیاهچه‌های شاهد بدون پیش‌تیمار نانو سیلیس و تنش شوری بود (شکل ۱۱).

### میزان کل قندهای محلول

براساس نتایج تجزیه واریانس داده‌ها، اثر تیمار نانو سیلیس، تنش شوری و اثر متقابل تیمار نانو سیلیس و شوری بر میزان کل قندهای محلول گیاهچه معنی‌دار ( $P < 0.01$ ) بود (جدول ۲). طبق مقایسات میانگین تیمار نانو سیلیس ۶۰ پی‌پی‌ام در شرایط تنش شوری ۱۰ دسی



شکل ۱۱- مقایسه میانگین میزان کل قندهای محلول گیاهچه سویا تحت پیش‌تیمار نانو سیلیس و تنش شوری

Figure 11. Mean comparison of Soybean seedlings sugar content shoot affected by Nano Sio<sub>2</sub> pretreatment and salinity stress

شوری شد. به‌طوری‌که پیش‌تیمار نانو سیلیس توانست در تقابل با تنش شوری با تأثیر بر صفات جوانه‌زنی نظیر درصد، سرعت و یکنواختی جوانه‌زنی و میزان وزن گیاهچه سویا رقم ویلیامز اثر بهبوددهنده‌ای داشت. همچنین نانو سیلیس با تأثیر بر میزان کلروفیل برگ، کلروفیل a, b، کاروتئین، میزان پرولین و قند محلول گیاهچه سویا رقم ویلیامز تا حدودی از اثرات سوء تنش شوری کاست. در کل می‌توان پیش‌تیمار نانو سیلیس را به‌عنوان یک تیمار بهبوددهنده‌ی سریع‌الاثر در مواجهه با محیط‌های شور در مرحله جوانه‌زنی این گیاه توصیه کرد.

### تشکر و قدردانی

بدین‌وسیله از کارشناسان آزمایشگاه علوم و تکنولوژی بذر دانشکده علوم کشاورزی دانشگاه شاهد قدردانی می‌گردد.

مطالعات بیوشیمیابی نشان داده که در گیاهان تحت تنش شوری، مواد محلول با وزن مولکولی کم، که مواد محلول سازگار نامیده می‌شوند و به‌عنوان اسмолیت عمل می‌کنند در گیاهان تجمع پیدا می‌نماید. از این ترکیبات می‌توان به قندهای محلول اشاره کرد که در تنش شوری تجمع یافته و به‌عنوان عامل یا محافظ اسمزی عمل می‌نمایند. تنظیم کننده‌های اسمزی یکی از مهم‌ترین عوامل حفظ گیاهان در مقابل تنش‌های غیر زنده هستند. در این میان می‌توان به افزایش ترکیباتی نظیر گلوکز، Fruktوز، ساکارز و پلی‌آمین‌ها اشاره کرد (Parvaiz and Satyawati, 2008). قندهای محلول مولکول‌های کوچکی هستند که در مواجهه با تنش‌های خارجی و داخلی سنتز می‌شوند. این مولکول‌ها به‌شدت هیدروفلی هستند و سلول را از خطرات تنش نجات می‌دهند (Hu et al., 2006).

### نتیجه‌گیری کلی

به‌طورکلی می‌توان گفت که پرایمینگ بذر با نانو سیلیس ۶۰ و ۴۰ پی‌پی‌ام به‌عنوان یک تیمار فیزیولوژیکی سبب بهبود جوانه‌زنی بذر سویا (رقم ویلیامز) تحت تنش

## منابع

- Al-Aghabary, K., Zhu, Z. and Shi, Q. 2004. Influence of silicon supply on chlorophyll content, chlorophyll fluorescence and anti-oxidative enzyme activities in tomatoplants under salt stress. *Journal of Plant Nutrition*, 27, 2101–2115. (**Journal**)
- Almansouri, M., Kinet, J.M. and Lutts, S. 2001. Effect of salt and osmotic stresses on germination in durum wheat (*Triticum durum Desf.*). *Plant and Soil*, 231: 243- 254. (**Journal**)
- Ansari, O., Choghazardi, H.R., Sharif Zadeh, F. and Nazarli, H. 2012. Seed reserve utilization and seedling growth of treated seeds of mountain rye (*Seca lemontanum*) as affected by drought stress. *Cercetări Agronomicice în Moldova*, 2(150): 43- 48. (**Journal**)
- Ansari, O. and Sharif-Zadeh, F. 2012. Does gibberelic acid (GA), salicylic acid (SA) and ascorbic acid (ASc) improve mountain rye (*Seca lemontanum*) seeds germination and seedlings growth under cold stress. *International Journal of Applied and Basic Sciences*, 3(8):1651-1657. (**Journal**)
- Arnon, A.N. 1967. Method of extraction of chlorophyll in the plants. *Agronomy Journal*, 23: 112-121. (**Journal**)
- Aroie, H., Naseri, M. and Kafi, M. 2012. The effect of silica in the reduction of salinity in Fenugreek (*Trigonella foenum- graecum*). *Journal of Agriculture (Research and Development)*, 104: 165-172. (**Journal**)
- Ashraf, M. and Foolad, M.R. 2005. Presowing seed treatment-a shotgun approach to improve germination growth and crop yield under saline and none-saline conditions. *Advances in Agronomy*, 88: 223-271. (**Journal**)
- Ashraf, M.M. and Naqvi, I. 1992. Effect of varying  $\text{Na}^+/\text{Ca}^{2+}$  ratios in saline sand culture on some physiological parameters of four *Brassica* species. *Acta Physiological Plantarum*, 14: 197-205. (**Journal**)
- Association of Official Seed Analysis. 1983. Seed vigor testing handbook, No.32. Association of Official Seed Analysis, Boise, ID. (**Handbook**)
- Bates, L.S., Waldren, R.P. and Tevre, I.V. 1973. Rapid determination of free proline for water- stress studies. *Plant Soil*, 39: 205- 207. (**Journal**)
- Cang, M.C., Fang, L.Q., Zuo, S.L. and Yu, Z.J. 2002. Preliminary explanation of the mechanism about effects of silicon on maize seed germination and seedling growth. *Acta Agronomica Sinica*, 490-496. (**Journal**)
- Chang, M.C., Fang, L.Q., Zuo, S.L. and Yu, Z.J. 2002. Preliminary explanation of the mechanism about effects of silicon on maize seed germination and seedling growth. *Acta Agronomica Sinica*, 490-496. (**Journal**)
- Emamian, T.M., Pirdashti, H., Yaghobi, Y. and Keramati, S. 2014. The effect of nano silica improve the salt tolerance during seed germination and seedling Sesame. Benefits and Applications for Nanotechnology Conference, 5 March, Hamedan, Iran. (In Persian)(**Conference**)
- Ellis, R.H. and Roberts, E.H. 1981. The quantification of ageing and survival in orthodox seeds. *Seed Science and Technology*, 9: 377-409. (**Journal**)
- Farooq, M., Basra, S.M.A., Warraich, E.A. and Khaliq, A. 2006. Optimization of hydropriming techniques for rice seed invigoration. *Seed Science and Technology*, 34: 529-534. (**Journal**)
- Guo, W., Hou, Y.L., Wang, S.G. and Zhu, Y.G. 2005. Effect of silicate on the growth and arsenate uptake by rice (*Oryza sativa L.*) seedlings in solution culture. *Plant Soil*, 272: 173–181. (**Journal**)
- Haghghi, M. and Pessarakli, M. 2013. Influence of silicon and nano-silicon on salinity tolerance of cherrymatoes (*Solanum lycopersicum L.*) at early growth stage. *Scientia Horticulturae*, 161: 111–117. (**Journal**)
- Haghghi, M., Afifipour, Z. and Mozafarian, M. 2012. The effect of N-Si on tomato seed germination under salinity levels. *Journal of Biodiversity and Environmental Sciences*, 6 (16): 87–90. (**Journal**)
- Haji Abbasi, M., Tavakol, A.R. and Abbasi, R. 2014. Effect of salicylic acid on the restoration of deteriorated seeds of soybean. First International Congress of Agriculture Sciences. Iran. Karaj. NABATAT13\_0439. (In Persian)(**Conference**)
- Hasegawa, P.M., Bressan, R.A., Zhu, J.K. and Bohnert, H.J. 2000. Plant cellular and molecular responses to high salinity. *Annual Review Plant Physiology and Plant Molecular Biology*, 51: 463–499. (**Journal**)

- Hashemi, A., Abdolzade, A. and Sadeghipour, H.R. 2010. Beneficial effects of silicon nutrition in alleviating salinity stress in hydroponically grown canola, *Brassica napus* L., plants. *Soil Science and Plant Nutrition*, 56: 244–253. (**Journal**)
- Hu, J., Xie, X.J., Wang, Z.F. and Song, W.J. 2006. Sand priming improves alfalfa germination under high-salt concentration stress. *Seed Science and Technology*, 34: 199-204. (**Journal**)
- Izadi darbandi, A. and Mohammadian, M. 2012. Effects of temperature and salinity on seed germination and growth characteristics of canola cultivars (*Sesamum indicum*). *Iranian Journal of Agricultural Research*, 10 (2): 345-355. (In Persian) (**Journal**)
- Kaydan, D. and Yagmur, M. 2008. Germination, seedling growth and relative water content of shoot in different seed sizes of triticale under osmotic stress of water and NaCl. *African Journal of Biotechnology*, 7: 2862-2868. (**Journal**)
- Koca, M., Bor, M., Ozdemir, F. and Turkan, I. 2007. The effect of salt stress on lipid peroxidation, antioxidative enzymes and proline content of sesame cultivars. *Environmental and Experimental Botany*, 60: 344-351. (**Journal**)
- Lee, C.W., Mahendra, S., Zodrow, K., Li, D., Tsai, Y., Braam, J. and Alvarez, P.J.J. 2010. Developmental phytotoxicity of metal oxide nanoparticles to *Arabodopsis thaliana*. *Environmental Toxicology and Chemistry*, 29: 669-675. (**Journal**)
- Liang, Y.C., Sun, W.C., Zhu, Y.G. and Chirstie, P. 2007. Mechanisms of silicon-mediated alleviation of abiotic stresses in higher plants: a review. *Environmental Pollutant*, 147: 422–428. (**Journal**)
- Liopa-Tsakalidi, A., Kaspiris, G., Salahas, G. and Barouchas, P. 2012. Effect of salicylic acid (SA) and gibberellic acid (GA1) pre-soaking on seed germination of Stevia (*Stevia rebaudiana*) under salt stress. *Journal of Medicinal Plants Research*, 6: 416-423. (**Journal**)
- Mahdavi, B., Aghaalikhani, M. and Sharifi, M. 2014. Chitosan improves osmotic potential tolerance in safflower (*Carthamus tinctorius* L.) seedlings. *Crop Improvement*, 25(6): 728-741. (**Journal**)
- Mansour, M.M.F. 1994. Changes in growth osmotic potential and cell permeability of wheat cultivars under salt stress. *Biologia Plantarum*, 36(3): 429-434. (**Journal**)
- Mohammadi, H. 2013. The role of priming on seed reserve utilization and germination of barley (*Hordeum vulgare* L.) seeds under drought stress. *International Journal of Agronomy and Plant Production*, 4(10): 2543-2547.
- Murungu, F.S., Nyamugafata, P., Chiduza, C., Clark, L.J. and Whalley, W.R. 2003. Effects of seed priming, aggregate size and soil matric potential on emergence of cotton (*Gossypium hirsutum* L.) and maize (*Zea mays* L.). *Soil and Tillage Research*, 74: 161- 168. (**Journal**)
- Nellist, M.E. and Hughes, M. 1973. Physical and biological processes in the drying of seed. *Seed Science and Technology*, 1: 613-643. (**Journal**)
- Noor, E., Azhar, F.M. and Khan, A.L. 2001. Differences in responses of *Gossypium hirsutum* L. varieties to NaCl salinity at seedling stage. *International Journal of Agricultural and Biological*, 3(4): 345-347. (**Journal**)
- Omidi, H., Sorushzadeh, A., Salehi, A. and Ghezeli, F. 2005. Evaluation of priming pretreatments on germination rapeseed. *Agricultural Science and Technology*, 19(2): 1-10. (**Journal**)
- Pagter, M., Bragato, C., Malagoli, M. and Brix, H. 2009. Osmotic and ionic effects of NaCl and Na<sub>2</sub>SO<sub>4</sub> salinity on *Phragmites australis*. *Aquatic Botany*, 90: 43-51. (**Journal**)
- Parida, A.K. and Das, A.B. 2005. Salt tolerance and salinity effects on plants: a review. *Ecotoxicology and Environmental Safety*, 60: 324-349. (**Journal**)
- Parvaiz, A. and Satyawati, S. 2008. Salt stress and phyto-biochemical responses of plants. *Plant, Soil and Environment*, 54: 89-99. (**Journal**)
- Patade, V.Y., Maya, K. and Zakwan, A. 2011. Seed priming mediated germination improvement and tolerance to subsequent exposure to cold and salt stress in capsicum. *Research Journal of Seed Science*, 4(3): 125 -136.
- Pourkhaloee, A., Haghghi, M., Saharkhiz, M.J., Jouzi, H. and Doroodmand, M.M., 2011. Investigation on the effects of carbon nanotubes (CNTs) on seed germination and seedling growth of salvia (*Salvia microsiphon*), pepper (*Capsicum annum*) and tall fescue (*Festuca arundinacea*). *Journal of Seed Technology*, 33(2): 155–160. (**Journal**)
- Sanitata, L. and Gabbriella, R. 1999. Response to Cd in higher plants—Review. *Environment and Experimental Botany*, 45: 105-130. (**Journal**)

- Schutz, H. and Fangmier, E. 2001. Growth and yield responses of spring wheat (*Triticum aestivum* L. cv. Minaret) to elevated CO<sub>2</sub> and water limitation. Environmental Pollutions, 114: 187-194. **(Journal)**
- Sheteawi, S.A. 2007. Improving growth and yield of salt stressed soybean by exogenous application of jasmine acid and ascorbic, International Journal of Agriculture and Biology, 9: 473-478. **(Journal)**
- Sheligl, H.Q. 1986. Die verwertung orgngischer souren durch chlorella lincht. Planta, 47-51. **(Journal)**
- Shi, G.R., Cai, Q.S. and Liu, C.F. 2010. Silicon alleviates cadmium toxicity in peanut plants in relation to cadmium distribution and stimulation of antioxidative enzymes. Plant Growth Regulators, 61: 45–52. **(Journal)**
- Vaculík, M., Konlechner, C., Langer, I., Adlassnig, W., Puschenreiter, M., Lux, A. and Hauser, M.T., 2012. Root anatomy and element distribution vary between two *Salix caprea* isolates with different Cd accumulation capacities. Environment Pollution, 163: 117–126. **(Journal)**
- Ye, J., Yan, C.L., Liu, J.C., Lu, H.L., Liu, T. and Song, Z.F. 2012. Effects of silicon on the distribution of cadmium compartmentation in root tips of *Kandelia obovata* (S., L.) Yong. Environment Pollution, 162: 369–373. **(Journal)**
- Yosefi Tanha, P. 2014. The effect of priming to improve germination of winter annual green manure seeds under cold stress. MSc Thesis of Seed Science and Technology. **(Thesis)**
- Zhu, Z., Wei, G., Li, J., Qian, Q. and Yu, J. 2004. Silicon alleviates salt stress and increases antioxidant enzymes activity in leaves of salt-stressed cucumber (*Cucumis sativus* L.). Plant Science, 167: 527-533. **(Journal)**



## Study on effects of pretreatment nano-particle silicon dioxide ( $\text{SiO}_2$ ) on seed germination and biochemical indicate of soybean (*Glycine max L.*) cultivars Williams under salinity

Vahid Mansouri Gandomani<sup>1\*</sup>, Heshmat Omidi<sup>2</sup>, Abdul Amir Bostani<sup>3</sup>

Received: May 10, 2016

Accepted: August 16, 2016

### Abstract

The present study of Nano particle silicon dioxide to increase the germination of soybean cultivar Williams under salt stress conditions as factorial in a completely randomized design with three replications in 2015 in the laboratory of Tehran's Shahed University of Science and Technology Seed. First factor is different concentrations of nano-silica including control, 40 and 60 ppm, and the second factor different concentrations of salinity control (no stress), 5, 7.5 and 10 dS/m. The traits such as germination percentage, germination rate, average daily germination, uniformity of germination, the number of normal seedlings, seedling fresh weight, relative water content of shoot, weight root to shoot ratio, the total chlorophyll, chlorophyll a, chlorophyll b, ratio of chlorophyll a to b, carotenoid, proline and total soluble sugar was measured. The results showed that the interaction of nano-silica priming and salinity on traits such as germination percentage and rate, average daily germination, uniformity of germination time, normal seedling, root to shoot ratio and chlorophyll content at the level of 1% ( $P<0.01$ ) was significant. According to the results treatment of nano-silica concentration of 60 ppm increase the germination rate is 34 percent. This has offset the decrease caused by salinity and germination in salinity concentration of 10 dS/m to about 80 percent. Treatment of 60 ppm of nano silica in the face of salinity on the germination parameters such as speed of germination, normal seedlings and the shoot relative water content have positive effects and by increase biochemical traits like leaf total chlorophyll, chlorophyll a, chlorophyll b, the chlorophyll a to b, carotenoid, proline and total soluble sugar mitigate some of the damage caused by salt stress.

**Keywords:** Nano-silica dioxide; Priming; Salinity; Soybean

### How to cite this article

Mansouri Gandomani, V., Omidi, H. and Bostani, A.A. 2019. Study on effects of pretreatment nano-particle silicon dioxide ( $\text{SiO}_2$ ) on seed germination and biochemical indicate of soybean (*Glycine max L.*) cultivars Williams under salinity. Iranian Journal of Seed Science and Research, 6(3): 299-315. (In Persian)(Journal)

DOI: [10.22124/jms.2019.3814](https://doi.org/10.22124/jms.2019.3814)

### COPYRIGHTS

Copyrights for this article are retained by the author(s) with publishing rights granted to the Iranian Journal of Seed Science and Research

The content of this article is distributed under Iranian Journal of Seed Science and Research open access policy and the terms and conditions of the Creative Commons Attribution 4.0 International (CC-BY4.0) License. For more information, please visit <http://ims.euijan.ac.ir/>

1. MSc Graduated of Seed Science and Technology, College of Agriculture, Shahed University, Tehran, Iran

2. Assistant Professor, Department of Agronomy and Plant Breeding, College of Agriculture, Shahed University, Tehran, Iran

3. Assistant Professor, Department of Soil Science, College of Agriculture, Shahed University, Tehran, Iran

\*Corresponding author: mansourivahid2@yahoo.com